

213—5

大型铸锻件文集

太原重型机器厂情报室编译

5

1981

一机部大型铸锻件情报网

目 录

{ 技术报导 }

稀土碳素铸钢的抗热裂性 ----- 1 ~ 12

{ 译 文 }

大型锻件金属质量的控制方法 ----- 13 ~ 28

大型锻件钢锭的制造方法 ----- 29 ~ 62

大轴锻造过程的改进 ----- 63 ~ 72

无磁性护环 ----- 73 ~ 82

透平机转子大型锻件中材料缺陷的分类 ----- 83 ~ 88

大型锻件的锻轧扩孔 ----- 89 ~ 105

大锻件预热处理时复杂料垛加热规范的研究 ----- 106 ~ 121

钢的热物理性能的研究 ----- 122 ~ 137

提高铸件质量和降低废品的方法 ----- 137 ~ 141

含Cr1%的抗蠕变铬钼钢透平机转子的热处理 ----- 142 ~ 163

铸钢浇注温度的决策 ----- 164 ~ 177

生产过程中受扭应力的锻裂纹的扩展 ----- 178 ~ 192

第十一届国际落锻会议 --- 会议报告 第一刊分 ----- 193 ~ 215

第十一届国际落锻会议 --- 会议报告 第二刊分 ----- 215 ~ 235

稀土碳素铸钢的抗热裂性

— 李兆劲 —

近二十几年来，稀土元素在钢铁生产中由于其对净化的效、改善组织和性能的良好作用，已引起了广泛的注意。

一九七七年以來，我厂在原试验的基础上，对铸钢ZG35和ZG35R的抗热裂性进行了生产试验对比。以塑片冲液洞，热裂倾向有所克服，从而提高铸钢件质量，减少切割、焊补、回火的工时，减少材料、燃料消耗，降低铸钢件成本。

我们选择了容易产生铸造热裂纹的两种铸钢件作为典型铸件进行试验生产。一种是无砧座模浇铸的上下锤头（ 16^{t-M} 、 25^{t-M} ）；另一种是 $4M^3$ 电炉的左、右履带架，尤其是履带架，件长壁薄，多年来都存在严重的热裂纹缺陷质量问题，其破裂率一般都在50%以上。一九七九年推广稀土碳钢后，履带架热裂率稳定的降至9.2%。无砧座锤头的热裂纹基本消除。现在我厂已将稀土碳钢纳入正式工艺，生产履带架、锤头、三通管、浇缸体等质量要求较高的铸钢件。

一、稀土元素的加入量和脱硫效率

稀土元素在钢中的加入量一般按下式计算：

$$Rej = 5.85([O]_a - [O]_b) + 2.93([S]_a - [S]_b) + Rei$$

其中： $[O]_a$ — 原始含氧量， $[O]_b$ — 残余氧含量。

$[S]_a$ — 起始硫含量， $[S]_b$ — 残余硫含量，
 Re_i — 钢中残余稀土量。

$$\text{即 } Re_i = 5.85(0.0240 - 0.0050) + 2.93(0.045 - 0.030) + 0.03 \\ = 0.1851\% \approx 0.2\%$$

但按我厂破碎平均生铁 115 吨钢水计算每吨含杂质 Fe，块状为稀土磁铁则需 346 公斤（含 Fe 26%），这样加入量过大，势必超过 35 钢的含 Si 限制。因之在实际加入时，我们取
 $Re_i = 0.05\%$ 左右加入。各炉的稀土加入量和回收率如下表：

表 1

炉次	稀土加入量 (kg)	出钢量 (t)	实际加入 $Re_i\%$	回收率 (%)	钢中残存 $Re_i\%$
7M ₁ -231	90	49	0.048	20.8	0.010
7M ₂ -262	90	47	0.050	12.0	0.006
7M ₁ -247	90	41.5	0.056	13.4	0.0075
7M ₁ -261	90	44	0.053	18.8	0.010
7M ₁ -279	110	48	0.060	18.4	0.011
7M ₁ -362	90	45	0.052	11.6	0.006
7D-489	38	22	0.045	13.4	0.006
8M ₁ -34	120	45	0.069	15.3	0.0105
8M ₁ -55	90	48	0.049	18.4	0.009
8M ₂ -109	100	45	0.058	12.2	0.007
8D-230	40	19	0.055	12.8	0.007
8M ₁ -138	80	44	0.043	11.6	0.005
8M ₁ -150	100	46	0.056	10.7	0.006
8M ₁ -168	90	45	0.052	9.6	0.005

续表 1

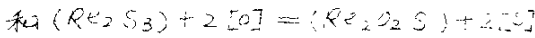
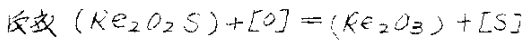
8M ₂ -145	70	46	0.039	12.8	0.005
3M ₁ -209	73	46	0.041	12.2	0.005
" - 216	90	45	0.052	9.6	0.005
" - 223	90	47	0.050	10.0	0.005
" - 227	90	45	0.052	9.6	0.005
" - 239	73	45	—	9.6	0.005
" - 256	85	47	0.046	10.8	0.005
" - 282	90	46.5	0.050	10.0	0.005
" - 289	90	46	—	9.8	0.005
" - 294	70	47.5	0.049	10.2	0.005
" - 299	90	48	0.049	10.2	0.005
" - 308	90	47.5	0.049	10.2	0.005
8M ₁ -316	80	48	0.044	11.4	0.005

从上述浇注管，碱性平炉底出钢口，顺钢包将铁水连铁加入包中的加入方法，钢的回收率波动在9.6%~10.8%之间。如果用连入法加碎土，回收率可能提高。

钢中含硫量的降低是改善钢质的一个决定性因素，而其对铸件产生热裂纹的影响也是显而易见的。对125件钢件试验结果表明：当含S量为0.035%以下者共44件，产生热裂纹的件数，仅50%，而含硫量在0.034%以下者共36件，产生热裂纹者仅6件，占17%。在生产上，通过控制含硫量，一定程度地减小了铸件热裂纹倾向。

由表2知，脱硫率 η 在24%~35.5%的广大范围内波动。

而多数炉次在 $\eta_s = 13.4 \sim 35.6\%$ 的范围， η_s 所以波动较大的原因，主要取决于炉渣的碱度、氧化性、流动性；其次则和钢水温度、钢中 [O] 含量有关。平炉钢出钢前含氧量仍较高，故欲使稀土的脱硫作用增强，防止铸件热裂作用增强，钢水应强脱氧且较低含氧量。这一类可由反应的平衡常数看出：



两式的平衡常数为：

$$K_0^{\text{S}} = \frac{K_{\text{O}}^{\text{S}}}{K_0} = \frac{[\text{S}]}{[\text{O}]} \quad K_{\text{O}}^{\text{S}} = \frac{K_{\text{S}}}{K_0^{\text{S}}} = \frac{[\text{S}]^2}{[\text{O}]^2}$$

当 Re_2O 和 Re_2SO_4 平衡时， $[\text{S}] = 10[\text{O}]$ 。即当钢中 [S] 含量降低到 [O] 的 $\frac{1}{10}$ 时，才开始稀土硫氧化物；当 Re_2SO_4 和 Re_2S 平衡时， $[\text{S}] = 100[\text{O}]$ 。即当 [S] 降低到 $\frac{1}{100}[\text{O}]$ 时才开始脱硫。若要发挥稀土脱硫作用，则必须先脱氧，所试验的炉次，在出钢端含 [O] 约仍很高，多至 $[O] = 0.021\% \sim 0.026\%$ ，因此影响脱硫的效果。在顺钢流以钢水量的 0.20% 加入稀土硅铁达熔后，又以 180 公斤硅铁和 45 公斤铝块沉底脱氧（50吨包中），其脱氧含 [O] 约仍较高。一般含 [O] 约 = $0.0052 \sim 0.0085\%$ （炉次 7M1-362），脱氧较好的炉次含 [O] 约也在 0.0062% 左右（炉次 7M1-247）。所以很多炉次脱硫效率不理想。如能在炉前加入 Si-Mn 合金或 A.M.S 合金预脱氧后，再加稀土处理，则脱硫

效率会大大提高，精件率会进一步降低。

试验各炉次脱硫率如表2

表2

炉 次	成 分 [S ₂]%	[S ₁] - [S ₂]	脱 S 率 % (%)	出钢温度 T°C
7M ₁ -231	0.022	0.009	27	
7M ₂ -262	0.024	0.021	46.6	1570
7M ₁ -247	0.027	0.018	40.0	1560
7M ₁ -261	0.034	0.011	24.5	1580
7M ₁ -279	0.033	0.009	21.4	1610
7M ₁ -362	0.040	0.005	11.1	1580
8M ₁ -34	0.026	0.019	42.2	1570
8M ₁ -55	0.025	0.015	37.5	1580
8M ₂ -109	0.035	0.010	22.2	1580
8D-230	0.032	0.015	32.0	
8M ₁ -138	0.044	0.001	2.2	1580
8M ₁ -150	0.030	0.015	33.4	1590
" - 168	0.027	0.013	40.0	1585
" - 145	0.044	0.001	2.2	1580
" - 209	0.039	0.016	35.6	1590
" - 216	0.026	0.019	42.3	1570
" - 223	0.039	0.006	13.4	1580
" - 227	0.039	0.006	13.4	1595
" - 239	0.053	0.012	26.6	1575
" - 282	0.030	0.015	33.4	1580
" - 289	0.026	0.025	55.5	1620
8M ₁ -294	0.036	0.016	35.6	

搜表 2

8M1-299	0.029	0.016	35.6	1580
8M1-308	0.039	0.006	13.4	1610
" - 316	0.039	0.006	13.4	1560

二、稀土碳钢的热塑性和流动性

微易稀大能提高铸钢的高温塑性，这一特性可能是稀土碳钢抗热裂性好的一个主要因素。我们对 ZG35 和 ZG35R 的常温机械性能和高温机械性能做了对比试验，其结果见下表 3：

常温性能和高温性能的试验数据 表 3

试验钢种		铸件退火后的机械性能				
普通	常	55 kg/mm ²	56 kg/mm ²	5 %	4 %	OK. kg/mm ²
		27	52	22	26	
ZG35	温	27	52.5	25.5	30.5	
		27.5	52	24.5	32.5	
稀土	常	29.5	62	24.5	32.5	4.1
		30.5	55.5	23.5	34.0	4.6
ZG35R	温	29.5	55.5	25	36.5	4.1
普通	高	—	11.5	45.5	23	
		—	12.0	50	90	
ZG35	温	—	14.5	51	94	
稀土	高	—	11.5	34	96	
		—	9.36	64	93.5	
ZG35R	温	—	9.52	62	93.5	
		—	9.63	56.5	93.5	

表 3 中的高温性能是在温度 800 °C 下按伸试验的结果。由表

3中看出，稀土碳钢在常温机械性能表现为强度和韧性的提高，在高温机械性能时表现为塑性的提高。铸钢件在高温下收缩变形受阻后产生的高温应力，如果超过碳钢在该温度下的强度和塑性极限，则必然导致铸件产生热裂纹。而稀土碳钢恰恰能提高碳钢的热态塑性，因此虽然稀土增加它的这一特点，将对减少铸件热裂倾向发挥巨大作用。

钢水的流动性和浇注温度与铸件的形貌有密切关系。一般地说，铸件浇注温度低些，有利于减少热裂倾向。浇注温度高时，由于钢水温度离于固相线太多，则固相和液相的温度范围过大，铸件各断面之间的温度梯度也过大，自然会产生热裂。但当浇注温度过低时，则钢水流动力差，流动性不顺利地对铸件补缩，产生浇不到、浇不足的情况。如ZG1-299炉浇的端号为8~9和8~10的两件房带架，上面顶刀有浇不足的特征。

我们采用普通的型腔浇口试样，在铸型浇注系统和冶炼条件相同的条件下测定了普通碳钢和稀土碳钢的流动性。如表4。

稀土碳钢钢水的流动性 表4

试验钢种	浇注温度(℃)	流动长度(mm)
普通	1540	210
ZG35	1540	180
	1460	135
	1460	102

表 4

稀 土 ZG35R	1540	458
	1540	420
	1480	445
	1480	197

试样为 8×8 毫米的碳钢，浇注温度用铂铑热电偶测得。从上述简单的测定，可以看出钢中加入微量稀土可以明显地提高钢的流动性。因之在现时实际操作中，稀土碳钢钢水仍会在同样低的浇注温度下，仍然可以保持模型腔填充较快较好，没有浇不足的现象。从而得到表 4 好、气孔少、热裂纹少的铸件。

三、稀土碳钢铸件应用推广实例

基于稀土碳钢具有一定的抗热裂性，我们几年来在扁带架和模锻锤头等易裂件上进行了对比试验。从 193 件扁带架和 14 件锤头生产情况说明，稀土碳钢可以大幅度降低热裂率（如扁带架）和基本消除热裂纹（如锤头）。因之目前我厂已将碳素铸钢和稀土处理纳入工艺，并在扁带架、锤头等铸件生产中广泛应用。

(1) 电铲立、扁带架应用实例

四年前来由铸扁带架全长 4550 公厘，是件长壁薄的薄形结构铸件。壁厚仅为 35 公厘，每件净重 1100 公斤，毛重 9900 公斤。几年来我们多次以 ZG35 和 ZG35 R 作对比试验，直接试生产条件和时间顺序分为七组：

1、第一组、七七年九月份，以 7 号 ZG35 浇注扁带架。

其中产生热裂纹缺陷者就多达 8 件，裂纹件占到总件数的 57%。

2、第二组：从 77 年 10 月至 78 年元月，以 9 号 ZG35 R 钢水浇铸房带架 21 件，其中产生热裂者 4 件（包括微裂 1 件），裂纹件数占总件数的 19%。

3、第三组：从 77 年 10 月至 78 年元月，以普通 ZG35 共 13 炉钢水，浇铸房带架 15 件，其中产生热裂者 12 件，裂纹件占总件数的 48%。

4、第四组：从 78 年 4 月至 6 月，以 13 炉 ZG35 R 钢水浇铸房带架 33 件，其中热裂 11 件，裂纹件占总件数的 33%。

5、第五组：从 78 年 4 月至 6 月，以普通 7 号 ZG35 或 9 号钢水，浇铸房带架 20 件，其中热裂者 15 件，裂纹件占总件数的 50%。

6、第六组：从 78 年 8 月～10 月，以 27 号耐火 ZG35 R 浇铸房带架 15 件，其中热裂者 3 件（包括微裂 2 件），裂纹件占总件数的 20%。

7、第七组：从 79 年 1 月至 6 月，以 27 号耐火 ZG35 R 浇铸房带架 65 件，其中热裂者 6 件，裂纹件占总件数的 9.2%。

将试验对比生产质量归纳为下表表 5。

试验 组别	材 质	试验炉数	浇铸房带架			产生热裂缺陷	
			件 数	件 数	件 数	件 数	占总件数%
1	普通 ZG35	7	14	8	14	8	57
3	7	12	25	12	25	12	48

接表5

5	普通ZG35	9	20	10	50
4	稀土ZG35R	13	33	11	33
2	"	9	21	4	19
6	"	6	15	3	20
7	"	27	65	6	9.2
分类	普通ZG35	29	59	30	50.5
总计	稀土ZG35R	55	124	27	17.9
总计		24	193	54	27.9

综合上达了组试验对比，稀土碳钢较房带架的热裂率从平均 50.5% 降低到平均 17.9%，更底可降至 9.2%，效果是显著的。

试验中第 4 组房带架由于采用直棍冷铁，热裂率为 33%，而第 6 组采用了丁字型直棍冷铁，并注意了消除接缝，因而热裂率又较低。第 7 组采用了丁字型大冷铁，含磷量提高减少了接缝，打斜衬沟也严格控制，因而热裂率降低到 9.2%。

房带架铸件由于长度较大，并且壁较厚，造型时内浇口块大砂芯，该铸件内浇道隔筋和外壁相交处形成六个热节点。此六个热节点，尤其是最中间的一个热节点，最容易产生热裂纹缺陷。因此在热节点处，尤其是铸件中刀的热节下分，是否改置内冷铁和内冷铁的尺寸、型式，就成为非常重要的问题。在这里内冷铁的引入必须顺序施用，细化结晶组织，消除疏松，消除等作用，尤其在冷却时对铸件抵抗收缩应力的作用，都对防止热裂纹产生有益处。从我们 193 件房带架的对比试验中可以看出，在同

样以稀土碳钢钢水浇注时，采用丁字或大冷铁（侧长120公厘）优于丁字鱼翅冷铁；丁字形鱼翅冷铁优于一般鱼翅冷铁；一般鱼翅冷铁优于直模冷铁。

(2) 对球罐头、下罐头的实例

16吋·米壳的球罐头，球罐头净重10100公斤，毛重11850公斤。下罐头净重13600公斤，毛重15000公斤。25吋·米壳球罐头的球罐头净重17000公斤，毛重25500公斤；下罐头净重23000公斤，毛重29370公斤。上罐头在生产中通常在内孔轴向和上部环沟内产生热裂纹。下罐头则多在侧面上产生热裂纹。这些热裂纹尺寸大，深度深，不易补焊。且由于罐头在使用中所受冲击负荷较大，对补焊的强度也要求较高，因之在罐头上防止热裂纹产生就显得尤为重要。

一九七七年七月浇铸的对球罐头、下罐头等零件，就因铸造热裂纹无法补焊而报废。七七年八月以后，我们采用了加1#稀土硅铁孕育处理的工艺生产的10件罐头，基本消除了热裂纹缺陷，具体情况见下表6：

罐头生产质量比较表 表6

试验 序号	生产时间	钢号	熔炼号	罐头浇铸 件数	产生热裂纹者 件数	占总批数 %
1	1977年7月	普包G35		4	4	100
2	1977年8月	稀土G35R	7M1-191	5	0	0

接表6

3	1978年2月	稀土ZG35R	3M ₁ -100	3	0	0
			9M ₁ -366			
4	1979年9月	"	" -373 " -397 9M ₁ -389	4	0	0

四、小结

通过试验证明，稀土元素对提高镁合金铸件的抗热裂性是十分显著的。在内冷铁型式、尺寸合适，披壁不大，总浇包砂深度合理，砂芯强度良好的情况下，以稀土镁钢 ZG35R 浇注 16 吨，米和 25 吨，未对去壁头时，可以完全消除热裂纹。在浇注 4 M³ 电炉房带架时，将热耗率降低到 10% 以下完全是可能的，并已在生产实践中付诸实现了。

从经济效果上看，稀土镁钢件成本，不但没有增加，反而还有所下降。按每公斤 1# 稀土合金 3.30 元计算，每炉增加成本 330 元 ~ 100 元（硅铁件） = 230 元，平均每件房带架只增加 57.5 元。但由于减少了热裂纹，每件房带架节约了补焊工时及回火工序而节约的费用 649 元。除了补偿稀土增加的费用外，尚可降低铸件成本 649 元 - 57.5 元 = 591.50 元。

总之，稀土镁钢为提高铸件生产质量，节约材料、燃料消耗，降低铸件成本提供了一个途径。它在经济上是合理的，生产上推广是可能的。

大型锻件金属质量的控制方法

B. A. Tropuh

国内机山制造业关键设备大型关键零件的生产由在 250 吨锻钢的大型锻件来保证。当前要锻造的钢锭重量已达 350 吨。随着耐热合金、难熔合金和热强合金的应用日益广泛，这些金属的应力加工也就提到了议事日程。因之，现代锻造技术和工艺发展的主要特点之一，就是查找和使用锻造时对金属质量有影响的新文献资料，以保证其所介绍的实用方法能得到最充分的利用。有关金属加工理论〔1, 2, 3〕和加工工艺方面的著作〔4, 5, 6, 7〕为锻造过程的研究打下了良好的基础。在锻造过程中，不仅可以充分利用金属的塑性，而且可以得到具有冶金组织和物理机械性能的毛坯。这种毛坯是根据该零件的实际情况来调节金属的塑性和而获得的。

为了模拟新的锻造工艺过程的奥秘和结构，而花费了几何、物理和数学模型。

变形物体的几何模型具有下列特征（这些特征从锻件物理机械性能的影响来看是最重要的）：

1. 呈柱状晶体的铸造枝状晶体组织形成穿晶区。
2. 非金属夹杂物形成偏析带（轴向的和非轴向的）。
3. 金属的宏观组织形成轴向心疏松带。

4. 非金属夹杂物以不同的方式分布在整个变形区中。

该模型用于编制锻造程序，并根据局部变形、坯料应力，特别是剪切变形的分区集中情况来绘制金属流动的宏观系统图。而在编制详细工艺时再改进钢种的某些具体特点。编制金属流动复杂系统图的原始资料是用平壁头锻机和拉伸试验机宏观组织变化的两种简单流动系统图。例如：锻粗圆板式毛坯时，主要成型工序是锻粗，锻粗时，锻件中间下分偏析带的过分膨胀是工件机械加工质量不合格的主要原因之一（在偏析带钻孔的情况下尤其严重）

锻粗空心钢管时（中心孔常被堵塞，见图2-a），金属宏观组织的初步分析可以提出保持（见2-a）或冲加（见2-B）孔径的两种锻造方案。这样就不必对已锻粗的毛坯再冲孔了。孔过大的金属质量问题（一般在冲孔时被冲掉），而孔的形状则要为（成型）机制而准备的。

金属流动的物理模型用于显示和（预测）以下金属流动的金属流动宏观系统所必需的变形区：

1. 分出整体过程的主要阶段。
2. 分析每个阶段变形区的形状和金相组织（完成平面变形 ζ ）一系列的边界条件（1,3）。
3. 根据实际的工艺过程详细区分边界条件（8）。
4. 强调锻造时金属流动的三维特性（估计第三个轴的变形无修正物理变形区的假设条件）。

5. 估计金属塑性流动过程中锻造工件的变形能力。

6. 研究变形物的宏观组织。

7. 估计机械性能和锻件质量的其他特性。

是否可利用边界

条件的改变（工件的

形状、接触摩擦力的
大小）来控制局部、

单独和总变形的分布，
这与变形物体接触面
的相对值有关。特别
是在用大的锻模相一
般毛坯时，几乎不会

因接触摩擦力作用而
形成凸度。由此就可
以认为在锻模大型钢
模时，边界条件对所

有锻件的金属流动特性都没有影响。相对接触面的值 ($\frac{F_K}{V}$)
是毛坯体积和形状的函数。例如对圆柱体来讲， $\frac{F_K}{V} = \pi (V \cdot \frac{D}{H})$ ；
(D 和 H — 圆柱体的直径和高度)。随着 V 的增加，函数下降
低，该函数降低速度放慢可以看作是随毛坯形状的变化，接触面
的作用在降低 (边界条件的影响也变小)。从数量上讲函数中的

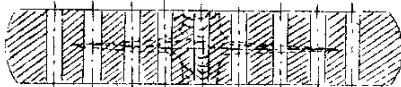


图 1 圆盘锻件锻粗之后，钢锭细
向各区重新配置的微观组织

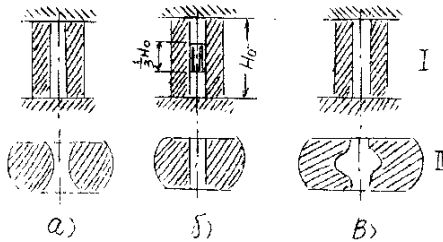


图 2 原始毛坯 I 和锻粗后的锻件
形状 II：

a — 自由锻粗； b — 增心模
锻粗； c — 将端头锻粗 (H_0 —
毛坯的原始高度)。